

National Technical University of Athens

*School of Electrical
and Computer Engineering*

Robotics I

Analysis - Control - Laboratory

Semester 7 - Flow S

Semester Project
Robotic Manipulator with 3 rotational DOF

Dimitris Dimos - 031 17 165



Athens
December, 2020

Περιεχόμενα

1	ΜΕΡΟΣ Α: Θεωρητική Ανάλυση	2
1.1	Μέθοδος DH - Τοποθέτηση Πλαισίων - Πίνακας Παραμέτρων	3
1.2	Ευθεία Κινηματική Εξίσωση - Ευθύ Γεωμετρικό Μοντέλο	4
1.3	Ιακωβιανή Μήτρα - Ευθύ Διαφορικό Κινηματικό Μοντέλο	5
1.4	Αντίστροφο Διαφορικό Κινηματικό Μοντέλο	8
1.5	Αντίστροφο Γεωμετρικό Μοντέλο	11
2	ΜΕΡΟΣ Β: Κινηματική Προσομοίωση	15
2.1	Σχεδιασμός Τροχίας (Trajectory Planning)	15
2.2	Κινηματική Προσομοίωση	19
2.2.1	Προφίλ Κίνησης	20
2.2.2	Γωνίες και γωνιακές ταχύτητες αρθρώσεων	21
2.2.3	Παρουσίαση Κίνησης - Animation	22
3	Κώδικας MATLAB Κινηματικής Προσομοίωσης	25

1 ΜΕΡΟΣ Α: Θεωρητική Ανάλυση

Στην Figure 1 παρουσιάζεται η κινηματική δομή ενός ρομποτικού χειριστή τριών στροφικών βαθμών ελευθερίας q_1, q_2, q_3 σε διάταξη αρχικοποίησης (όπου $q_i = 0, \forall i = 1, 2, 3$). Τα μήκη των συνδέσμων l_0, \dots, l_5 θεωρούνται γνωστά και σταθερά.

Για το μέρος της θεωρητικής ανάλυσης, πραγματοποιούμε τις παρακάτω 5 διαδικασίες:

- Με εφαρμογή της μεθόδου Denavit - Hartenberg για:
 - τοποθέτηση πλαισίων αναφοράς των συνδέσμων του βραχίονα και
 - προσδιορισμός του πίνακα των παραμέτρων της μεθόδου

Θεωρώντας, στη συνέχεια, πως $l_3 = 0$:

- Προσδιορισμός της ευθείας κινηματικής εξίσωσης του ρομπότ
- Προσδιορισμός της Ιακωβιανής μήτρας που περιγράφει το ευθύ διαφορικό κινηματικό μοντέλο για δοθείσα διάταξη του ρομπότ.
- Μελέτη του αντίστροφου διαφορικού κινηματικού μοντέλου του ρομπότ ως προς τη γραμμική ταχύτητα του τελικού εργαλείου δράσης, και προσδιορισμός των ιδιόμορφων κινηματικών διατάξεων του συστήματος (singular configurations).
- Προσδιορισμός του αντίστροφου γεωμετρικού μοντέλου του ρομποτικού βραχίονα για δεδομένη θέση p_E του τελικού εργαλείου δράσης.

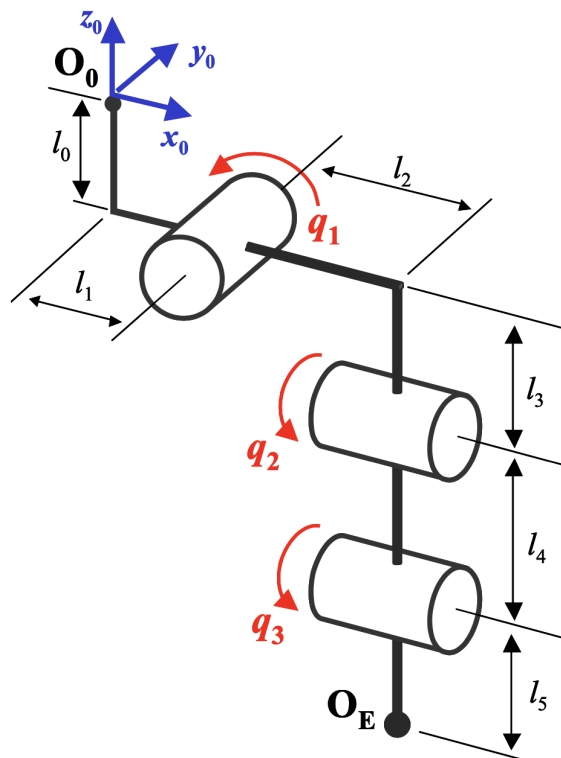


Figure 1: Κινηματική δομή ρομποτικού χειριστή 3 στροφικών β.ε

1.1 Μέθοδος DH - Τοποθέτηση Πλαισίων - Πίνακας Παραμέτρων

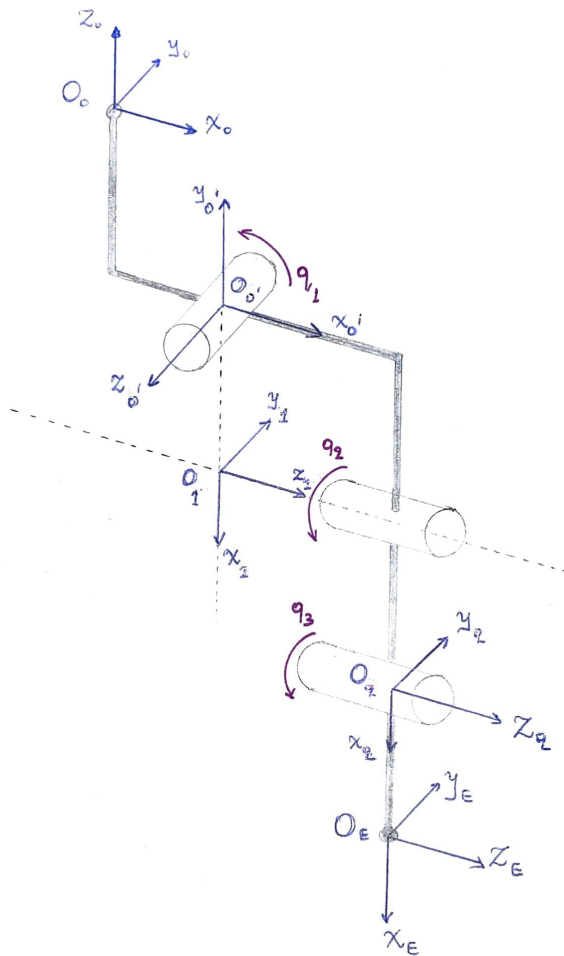


Figure 2: Τοποθέτηση Πλαισίων

Τα νέα πλαίσια που τοποθετούμε θα είναι σε πλήθος ίσα με #άρθρων + 1 (ένα για κάθε άρθρωση + 1 για τον end-effector). Αναλυτικά, ακολουθούμε τις εξής οδηγίες για να τοποθετήσουμε το πλαίσιο της άρθρωσης i :

- ο z_i άξονας βρίσκεται στην κατεύθυνση του άξονα της άρθρωσης
- ο x_i άξονας είναι κάθετος στους z_i και z_{i-1} . Αν δεν υπάρχει μοναδική κάθετος στους z_i και z_{i-1} , τότε ο x_i βρίσκεται στην κατεύθυνση από τον z_{i-1} προς τον z_i
- ο y_i άξονας τοποθετείται με τρόπο ώστε οι άξονες να αποτελούν δεξιόστροφο σύστημα
- ο x_i άξονας πρέπει να τέμνει τον z_{i-1} . Διαφορετικά, το πλαίσιο πρέπει να μετατοπιστεί (χωρίς να περιστραφεί), ώστε να πληρωθεί η εν λόγω σύμβαση.

Το πλαίσιο του end-effector μπορεί να τοποθετηθεί αυθαίρετα, οπότε επιλέγουμε το πλαίσιο που φαίνεται στην Figure 2.

Ύστερα, εξάγουμε τον πίνακα παραμέτρων DH.

i	a_i	α_i	d_i	θ_i
$0'$	l_1	90°	$-l_0$	0
1	l_3	-90°	0	$q_1 - 90^\circ$
2	l_4	0	l_2	q_2
E	l_5	0	0	q_3

Εξηγούμε, λίαν συντόμως, την σημασία του κάθε συμβόλου του πίνακα:

- a_i : απόσταση των κέντρων των πλαισίων $i - 1$ και i στην κατεύθυνση του x_i
- α_i : περιστροφή του $i - 1$ πλαισίου γύρω από τον x_i για να συμπίσει ο z_{i-1} με τον z_i
- d_i : απόσταση των κέντρων των πλαισίων $i - 1$ και i στην κατεύθυνση του z_{i-1}
- θ_i : περιστροφή του $i - 1$ πλαισίου γύρω από τον z_{i-1} για να συμπίσει ο x_{i-1} με τον x_i

1.2 Ευθεία Κινηματική Εξίσωση - Ευθύ Γεωμετρικό Μοντέλο

Στη συνέχεια, θεωρούμε πως $l_3 = 0$ και, συνεπώς, το πλαίσιο O_1 "πέφτει" πάνω στο πλαίσιο O_0 (έχουν κοινή αρχή). Για τον προσδιορισμό της ευθείας κινηματικής εξίσωσης, θα πρέπει να υπολογίσουμε πρώτα τις επιμέρους μήτρες ομογενών μετασχηματισμών. Ο γενικός τύπος που δίνει την κάθε μήτρα συναρτήσει των παραμέτρων DH, είναι:

$$A_i^{i-1} = \begin{bmatrix} \cos\theta_i & -\sin\theta_i \cdot \cos\alpha_i & \sin\theta_i \cdot \sin\alpha_i & a_i \cdot \cos\theta_i \\ \sin\theta_i & \cos\theta_i \cdot \cos\alpha_i & -\cos\theta_i \cdot \sin\alpha_i & a_i \cdot \sin\theta_i \\ 0 & \sin\alpha_i & \cos\alpha_i & d_i \\ \hline 0 & 0 & 0 & 1 \end{bmatrix} \quad (1)$$

Για οικονομία χώρου και για να είναι πιο ευανάγνωστοι οι υπολογισμοί, θα χρησιμοποιούμε τους συμβολισμούς:

- c_i για το $\cos q_i$
- s_i για το $\sin q_i$
- Κατ' αναλογία, ένα $\cos(q_i + q_j)$ θα συμβολίζεται ως c_{ij} κ.ο.κ.

Σύμφωνα, με τη σχέση (1) και τον πίνακα παραμέτρων DH, έχουμε:

$$A_{0'}^0 = \begin{bmatrix} 1 & 0 & 0 & l_1 \\ 0 & 0 & -1 & 0 \\ 0 & 1 & 0 & -l_0 \\ \hline 0 & 0 & 0 & 1 \end{bmatrix} \quad A_1^{0'}(q_1) = \begin{bmatrix} s_1 & 0 & c_1 & l_3 s_1 \\ -c_1 & 0 & s_1 & -l_3 c_1 \\ 0 & -1 & 0 & 0 \\ \hline 0 & 0 & 0 & 1 \end{bmatrix}$$

$$A_2^1(q_2) = \begin{bmatrix} c_2 & -s_2 & 0 & l_4 c_2 \\ s_2 & c_2 & 0 & l_4 s_2 \\ 0 & 0 & 1 & l_2 \\ \hline 0 & 0 & 0 & 1 \end{bmatrix} \quad A_E^2(q_3) = \begin{bmatrix} c_3 & -s_3 & 0 & l_5 c_3 \\ s_3 & c_3 & 0 & l_5 s_3 \\ 0 & 0 & 1 & 0 \\ \hline 0 & 0 & 0 & 1 \end{bmatrix}$$

Επομένως, προκύπτουν:

$$A_1^0(q_1) = A_{0'}^0 \cdot A_1^{0'}(q_1) = \begin{bmatrix} s_1 & 0 & c_1 & l_1 + l_3 s_1 \\ 0 & 1 & 0 & 0 \\ -c_1 & 0 & s_1 & -c_1 l_3 - l_0 \\ 0 & 0 & 0 & 1 \end{bmatrix}$$

$$A_E^1(q_2, q_3) = A_2^1(q_2) \cdot A_E^2(q_3) = \begin{bmatrix} c_{23} & -s_{23} & 0 & l_4 c_2 + l_5 c_{23} \\ s_{23} & c_{23} & 0 & l_4 s_2 + l_5 s_{23} \\ 0 & 0 & 1 & l_2 \\ 0 & 0 & 0 & 1 \end{bmatrix}$$

Άρα, η κινηματική εξίσωση του ρομποτικού χειριστή είναι:

$$T(\mathbf{q}) = A_E^0(\mathbf{q}) = A_{0'}^0 \cdot A_1^{0'}(q_1) \cdot A_2^1(q_2) \cdot A_E^2(q_3) = A_1^0(q_1) \cdot A_E^1(q_2, q_3) =$$

$$\begin{bmatrix} s_1 & 0 & c_1 & l_1 + l_3 s_1 \\ 0 & 1 & 0 & 0 \\ -c_1 & 0 & s_1 & -c_1 l_3 - l_0 \\ 0 & 0 & 0 & 1 \end{bmatrix} \cdot \begin{bmatrix} c_{23} & -s_{23} & 0 & l_4 c_2 + l_5 c_{23} \\ s_{23} & c_{23} & 0 & l_4 s_2 + l_5 s_{23} \\ 0 & 0 & 1 & l_2 \\ 0 & 0 & 0 & 1 \end{bmatrix} =$$

$$\begin{bmatrix} c_{23} s_1 & -s_1 s_{23} & c_1 & l_1 + l_2 c_1 + l_3 s_1 + l_4 s_1 c_2 + l_5 s_1 c_{23} \\ s_{23} & c_{23} & 0 & l_4 s_2 + l_5 s_{23} \\ -c_1 c_{23} & c_1 s_{23} & s_1 & -l_0 + l_2 s_1 - l_3 c_1 - c_1 c_2 l_4 - c_1 c_{23} l_5 \\ 0 & 0 & 0 & 1 \end{bmatrix}$$

Επειδή, ακόμη, $l_3 = 0$ η ευθεία κινηματική εξίσωση είναι τελικά:

$$T(\mathbf{q}) = \left[\begin{array}{ccc|c} c_{23} s_1 & -s_1 s_{23} & c_1 & l_1 + l_2 c_1 + l_4 s_1 c_2 + l_5 s_1 c_{23} \\ s_{23} & c_{23} & 0 & l_4 s_2 + l_5 s_{23} \\ -c_1 c_{23} & c_1 s_{23} & s_1 & -l_0 + l_2 s_1 - c_1 c_2 l_4 - c_1 c_{23} l_5 \\ \hline 0 & 0 & 0 & 1 \end{array} \right]$$

1.3 Ιακωβιανή Μήτρα - Ευθύ Διαφορικό Κινηματικό Μοντέλο

Ευθύ διαφορικό κινηματικό μοντέλο: $\dot{\mathbf{p}} = \mathbf{J} \cdot \dot{\mathbf{q}}$, όπου $\dot{\mathbf{q}} = [\dot{q}_1, \dot{q}_2, \dots, \dot{q}_n]^T$ το $(n \times 1)$ διάνυσμα των ταχυτήτων των αρθρώσεων.

Ο γενικός τύπος της Ιακωβιανής Μήτρας $(6 \times n)$ \mathbf{J} είναι:

$$\mathbf{J} = \left[\begin{array}{c|c|c|c} \mathbf{J}_{L_1} & \mathbf{J}_{L_2} & \cdots & \mathbf{J}_{L_n} \\ \mathbf{J}_{A_1} & \mathbf{J}_{A_2} & \cdots & \mathbf{J}_{A_n} \end{array} \right]$$

Κάθε στήλη i της μήτρας αφορά την άρθρωση i . Συγκεκριμένα, τα \mathbf{J}_{L_i} και \mathbf{J}_{A_i} , είναι το καθένα (3×1) διανύσματα στήλες που αντιπροσωπεύουν την "συνεισφορά" του \dot{q}_i (ταχύτητα της άρθρωσης i) στην ταχύτητα του τελικού στοιχείου δράσης. Αν πρόκειται για:

- στροφική άρθρωση, τότε:
 - $\mathbf{J}_{L_i} = \mathbf{b}_{i-1} \times \mathbf{r}_{i-1,E}$
 - $\mathbf{J}_{A_i} = \mathbf{b}_{i-1}$
 - πρισματική άρθρωση, τότε:
 - $\mathbf{J}_{L_i} = \mathbf{b}_{i-1}$
 - $\mathbf{J}_{A_i} = \mathbf{0}$
- όπου: $\left\{ \begin{array}{l} \mathbf{b}_{i-1} = \mathbf{R}_{i-1}^0(\mathbf{q}_1, \dots, \mathbf{q}_{i-1}) \cdot \underline{\mathbf{b}} \\ \mathbf{r}_{i-1,E} = \mathbf{A}_n^0(\mathbf{q}_1, \dots, \mathbf{q}_n) \cdot \underline{\mathbf{r}} - \mathbf{A}_{i-1}^0(\mathbf{q}_1, \dots, \mathbf{q}_{i-1}) \cdot \underline{\mathbf{r}} \\ \underline{\mathbf{b}} = [0 \ 0 \ 1]^T \quad (\text{στη μεθοδολογία DH}) \\ \underline{\mathbf{r}} = [0 \ 0 \ 0 \ 1]^T \end{array} \right.$

Για την περίπτωση που μελετάμε, θα χρησιμοποιήσουμε τους τύπους για στροφικές αρθρώσεις και το διάνυσμα $\underline{\mathbf{b}} = [0 \ 0 \ 1]^T$, εφόσον ακολουθούμε τη μεθοδολογία DH.

Προχωράμε στους υπολογισμούς. Θα χρειαστούμε, καταρχάς, λόγω του τύπου που δίνει το $\mathbf{r}_{i-1,E}$ τους πίνακες: A_0^0 , A_1^0 , A_2^0 και A_E^0 . Από αυτούς, δεν έχουμε υπολογίσει τον A_2^0 . Θα είναι, λοιπόν:

$$\begin{aligned}
A_2^0 &= A_1^0 \cdot A_2^1 = \\
\begin{bmatrix} s_1 & 0 & c_1 & l_1 + l_3 s_1 \\ 0 & 1 & 0 & 0 \\ -c_1 & 0 & s_1 & -c_1 l_3 - l_0 \\ 0 & 0 & 0 & 1 \end{bmatrix} \cdot \begin{bmatrix} c_2 & -s_2 & 0 & l_4 c_2 \\ s_2 & c_2 & 0 & l_4 s_2 \\ 0 & 0 & 1 & l_2 \\ 0 & 0 & 0 & 1 \end{bmatrix} &= \begin{bmatrix} c_2 s_1 & -s_1 s_2 & c_1 & l_1 + c_1 l_2 + l_3 s_1 + l_4 c_2 s_1 \\ s_2 & c_2 & 0 & l_4 s_2 \\ -c_1 c_2 & c_1 s_2 & s_1 & -l_0 + l_2 s_1 - l_3 c_1 - l_4 c_1 c_2 \\ 0 & 0 & 0 & 1 \end{bmatrix} \\
\Rightarrow A_2^0 &= \left[\begin{array}{ccc|c} c_2 s_1 & -s_1 s_2 & c_1 & l_1 + c_1 l_2 + l_3 s_1 + l_4 c_2 s_1 \\ s_2 & c_2 & 0 & l_4 s_2 \\ -c_1 c_2 & c_1 s_2 & s_1 & -l_0 + l_2 s_1 - l_3 c_1 - l_4 c_1 c_2 \\ \hline 0 & 0 & 0 & 1 \end{array} \right]
\end{aligned}$$

Πλέον διαθέτουμε όσα χρειαζόμαστε για να υπολογίσουμε την Ιακωβιανή Μήτρα.

Για $i = 1$:

$$\begin{aligned}
\mathbf{b}_{0'} &= \mathbf{R}_{0'}^0 \cdot \begin{bmatrix} 0 \\ 0 \\ 1 \end{bmatrix} = \begin{bmatrix} 0 \\ -1 \\ 0 \end{bmatrix} \\
\mathbf{r}_{0',\mathbf{E}} &= \mathbf{A}_{\mathbf{E}}^0 \cdot \begin{bmatrix} 0 \\ 0 \\ 0 \\ 1 \end{bmatrix} - \mathbf{A}_{0'}^0 \cdot \begin{bmatrix} 0 \\ 0 \\ 0 \\ 1 \end{bmatrix} = \begin{bmatrix} l_2 c_1 + l_4 s_1 c_2 + l_5 s_1 c_{23} \\ l_4 s_2 + l_5 s_{23} \\ l_2 s_1 - c_1 c_2 l_4 - c_1 c_{23} l_5 \end{bmatrix}
\end{aligned}$$

Οπότε:

$$\mathbf{J}_{\mathbf{L}_1} = \begin{bmatrix} 0 \\ -1 \\ 0 \end{bmatrix} \times \begin{bmatrix} l_2 c_1 + l_4 s_1 c_2 + l_5 s_1 c_{23} \\ l_4 s_2 + l_5 s_{23} \\ l_2 s_1 - c_1 c_2 l_4 - c_1 c_{23} l_5 \end{bmatrix} = \begin{bmatrix} c_1 c_2 l_4 + c_1 c_{23} l_5 - l_2 s_1 \\ 0 \\ c_1 l_2 + c_2 l_4 s_1 + c_{23} l_5 s_1 \end{bmatrix}$$

και

$$\mathbf{J}_{\mathbf{A}_1} = \mathbf{b}_{0'} = \begin{bmatrix} 0 \\ -1 \\ 0 \end{bmatrix}$$

Για $i = 2$:

$$\begin{aligned}
\mathbf{b}_1 &= \mathbf{R}_1^0 \cdot \begin{bmatrix} 0 \\ 0 \\ 1 \end{bmatrix} = \begin{bmatrix} c_1 \\ 0 \\ s_1 \end{bmatrix} \\
\mathbf{r}_{1,\mathbf{E}} &= \mathbf{A}_{\mathbf{E}}^0 \cdot \begin{bmatrix} 0 \\ 0 \\ 0 \\ 1 \end{bmatrix} - \mathbf{A}_1^0 \cdot \begin{bmatrix} 0 \\ 0 \\ 0 \\ 1 \end{bmatrix} = \begin{bmatrix} l_2 c_1 - l_3 s_1 + l_4 s_1 c_2 + l_5 s_1 c_{23} \\ l_4 s_2 + l_5 s_{23} \\ l_2 s_1 + l_3 c_1 - c_1 c_2 l_4 - c_1 c_{23} l_5 \end{bmatrix}
\end{aligned}$$

Οπότε:

$$\mathbf{J}_{\mathbf{L}_2} = \begin{bmatrix} c_1 \\ 0 \\ s_1 \end{bmatrix} \times \begin{bmatrix} l_2 c_1 - l_3 s_1 + l_4 s_1 c_2 + l_5 s_1 c_{23} \\ l_4 s_2 + l_5 s_{23} \\ l_2 s_1 + l_3 c_1 - c_1 c_2 l_4 - c_1 c_{23} l_5 \end{bmatrix} = \begin{bmatrix} -l_4 s_1 s_2 - l_5 s_1 s_{23} \\ -l_3 + l_4 c_2 + l_5 c_{23} \\ l_4 c_1 s_2 + l_5 c_1 s_{23} \end{bmatrix}$$

και

$$\mathbf{J}_{\mathbf{A}_2} = \mathbf{b}_1 = \begin{bmatrix} c_1 \\ 0 \\ s_1 \end{bmatrix}$$

Για $i = E$:

$$\mathbf{b}_2 = \mathbf{R}_2^0 \cdot \begin{bmatrix} 0 \\ 0 \\ 1 \end{bmatrix} = \begin{bmatrix} c_1 \\ 0 \\ s_1 \end{bmatrix}$$

$$\mathbf{r}_{2,E} = \mathbf{A}_E^0 \cdot \begin{bmatrix} 0 \\ 0 \\ 0 \\ 1 \end{bmatrix} - \mathbf{A}_2^0 \cdot \begin{bmatrix} 0 \\ 0 \\ 0 \\ 1 \end{bmatrix} = \begin{bmatrix} -l_3 s_1 + l_5 s_1 c_{23} \\ l_5 s_{23} \\ l_3 c_1 - l_5 c_1 c_{23} \end{bmatrix}$$

Οπότε:

$$\mathbf{J}_{\mathbf{L}_2} = \begin{bmatrix} c_1 \\ 0 \\ s_1 \end{bmatrix} \times \begin{bmatrix} -l_3 s_1 + l_5 s_1 c_{23} \\ l_5 s_{23} \\ l_3 c_1 - l_5 c_1 c_{23} \end{bmatrix} = \begin{bmatrix} -l_5 s_1 s_{23} \\ -l_3 + l_5 c_{23} \\ l_5 c_1 s_{23} \end{bmatrix}$$

και

$$\mathbf{J}_{\mathbf{A}_2} = \mathbf{b}_1 = \begin{bmatrix} c_1 \\ 0 \\ s_1 \end{bmatrix}$$

Τελικά, η Ιακωβιανή μήτρα είναι (θεωρώντας $l_3 = 0$):

$$\mathbf{J} = \begin{bmatrix} -l_2 s_1 + l_4 c_1 c_2 + l_5 c_1 c_{23} & -l_4 s_1 s_2 - l_5 s_1 s_{23} & -l_5 s_1 s_{23} \\ 0 & l_4 c_2 + l_5 c_{23} & l_5 c_{23} \\ l_2 c_1 + l_4 c_2 s_1 + l_5 c_{23} s_1 & l_4 c_1 s_2 + l_5 c_1 s_{23} & l_5 c_1 s_{23} \\ 0 & c_1 & c_1 \\ -1 & 0 & 0 \\ 0 & s_1 & s_1 \end{bmatrix}$$

1.4 Αντίστροφο Διαφορικό Κινηματικό Μοντέλο

Η αντίστροφη διαφορική κινηματική ανάλυση γίνεται με την υπόθεση ότι γνωρίζουμε (για δοσμένη διάταξη \mathbf{q}) το διάνυσμα της γραμμικής ταχύτητας $\mathbf{v_E} = [\dot{p}_{E_x} \quad \dot{p}_{E_y} \quad \dot{p}_{E_z}]^T$ του end-effector, ως προς το πλαίσιο αναφοράς της βάσης.

Έτσι, αν η $\mathbf{J_L} = \mathbf{J}[1 : 3][1 : 3]$ (δηλαδή το κομμάτι της Ιακωβιανής που αφορά τις γραμμικές ταχύτητες) αντιστρέφεται, η εξίσωση του ευθέως διαφορικού κινηματικού μοντέλου $\dot{\mathbf{p}} = \mathbf{J} \cdot \dot{\mathbf{q}}$ μπορεί να πάρει τη μορφή $\dot{\mathbf{q}} = \mathbf{J_L}^{-1} \cdot \dot{\mathbf{v_E}}$ (αντίστροφο διαφορικό κινηματικό μοντέλο ως προς τη γραμμική ταχύτητα του Τ.Ε.Δ.).

Για να διαπιστώσουμε αν μπορεί να υπάρξει ο ζητούμενος αντίστροφος πίνακας, θα πρέπει πρώτα να μελετήσουμε την ορίζουσά του:

$$\begin{aligned}
 |\mathbf{J_L}| &= \begin{vmatrix} c_1c_2l_4 + c_1c_{23}l_5 - l_2s_1 & -l_4s_1s_2 - l_5s_1s_{23} & -l_5s_1s_{23} \\ 0 & l_4c_2 + l_5c_{23} & l_5c_{23} \\ c_1l_2 + c_2l_4s_1 + c_{23}l_5s_1 & l_4c_1s_2 + l_5c_1s_{23} & l_5c_1s_{23} \end{vmatrix} = \\
 & (c_1c_2l_4 + c_1c_{23}l_5 - l_2s_1) \cdot \begin{vmatrix} l_4c_2 + l_5c_{23} & l_5c_{23} \\ l_4c_1s_2 + l_5c_1s_{23} & l_5c_1s_{23} \end{vmatrix} + \\
 & (c_1l_2 + c_2l_4s_1 + c_{23}l_5s_1) \cdot \begin{vmatrix} -l_4s_1s_2 - l_5s_1s_{23} & -l_5s_1s_{23} \\ l_4c_2 + l_5c_{23} & l_5c_{23} \end{vmatrix} = \\
 & (c_1c_2l_4 + c_1c_{23}l_5 - l_2s_1) \cdot [(l_4c_2 + l_5c_{23}) \cdot (l_5c_1s_{23}) - (l_5c_{23}) \cdot (l_4c_1s_2 + l_5c_1s_{23})] + \\
 & (c_1l_2 + c_2l_4s_1 + c_{23}l_5s_1) \cdot [(-l_4s_1s_2 - l_5s_1s_{23}) \cdot (l_5c_{23}) - (-l_5s_1s_{23}) \cdot (l_4c_2 + l_5c_{23})] = \\
 & c_1l_4l_5 \cdot (c_2s_{23} - c_{23}s_2) \cdot (c_1c_2l_4 + c_1c_{23}l_5 - l_2s_1) + \\
 & l_4l_5s_1 \cdot (c_2s_{23} - c_{23}s_2) \cdot (c_1l_2 + c_2l_4s_1 + c_{23}l_5s_1) = \\
 & l_4l_5 \cdot \underbrace{(c_1^2 + s_1^2)}_{=1} \cdot (c_2l_4 + c_{23}l_5) \cdot \underbrace{(c_2s_{23} - c_{23}s_2)}_{=s_3} = \\
 & l_4l_5 \cdot s_3 \cdot (c_2l_4 + c_{23}l_5) \implies
 \end{aligned}$$

$$\det(\mathbf{J_L}) = l_4l_5s_3(c_2l_4 + c_{23}l_5)$$

Παρατηρούμε, λοιπόν, πως η ορίζουσα του πίνακα \mathbf{J}_L μηδενίζεται για τις τιμές που μηδενίζουν τα s_3 και $c_2l_4 + c_{23}l_5$. Συγκεκριμένα:

- $s_2 = 0 \implies q_2 = 0$ ή π
- $c_2l_4 + c_{23}l_5 = 0$

Όταν ισχύει κάποια από τις παραπάνω σχέσεις, τότε το ρομπότ βρίσκεται σε ιδιόμορφη διάταξη ως προς τη γραμμική ταχύτητα του T.E.Δ.

- $q_2 = 0$: πρόκειται για workspace singularity. Για αυτή τη γωνία ο βραχίονας βρίσκεται σε οριακό σημείο του workspace και ο end-effector δεν μπορεί να κινηθεί στην κατεύθυνση του X_E .
- $q_2 = \pi$: ομοίως με την προηγούμενη περίπτωση
- $c_2l_4 + c_{23}l_5 = 0$: πρόκειται για internal singularity. Για οποιαδήποτε γωνία q_1 ο end-effector υποχρεωτικά κινείται σε ευθεία παράλληλη με τον y_1 , όπως φαίνεται στο παρακάτω σχήμα. Έτσι, το σύστημα που επιθυμούμε να λύσουμε $\dot{\mathbf{q}} = \mathbf{J}_L^{-1} \cdot \dot{\mathbf{v}}_E$, δεν θα μπορούσε να μας δώσει μοναδική λύση υπό αυτή τη συνθήκη, αλλά άπειρες, εξού και ο μηδενισμός της ορίζουσας.

Έχουμε σχεδιάσει τον χειριστή καθώς τον κοιτάμε με κατεύθυνση αντίθετη στον x_0 , παραλείποντας τον σύνδεσμο στήριξης l_0 :

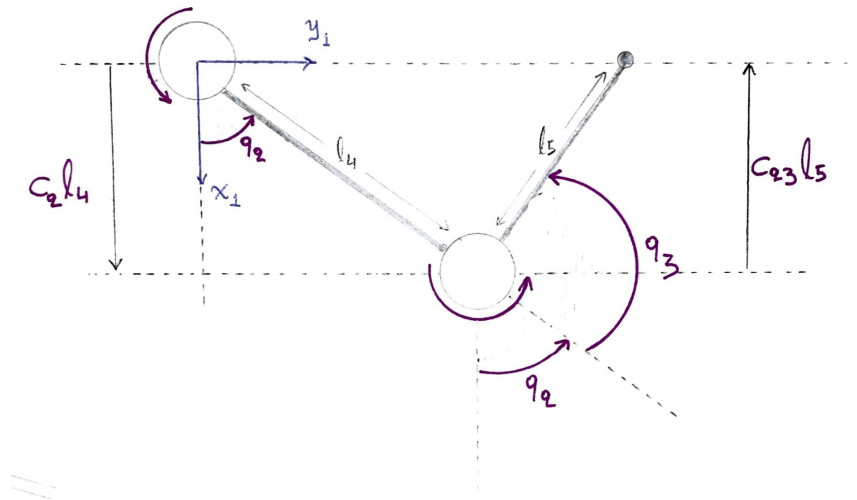


Figure 3: Internal Singularity: $c_2l_4 + c_{23}l_5 = 0$:

Συνεχίζουμε με τον υπολογισμό του αντιστρόφου πίνακα $\mathbf{J}_L^{-1} = \frac{1}{\det(\mathbf{J}_L)} \cdot \text{adj}(\mathbf{J}_L)$, με την $\det(\mathbf{J}_L)$ υπολογισμένη αμέσως πριν. Μένει να υπολογίσουμε τον $\text{adj}(\mathbf{J}_L)$. Γενικά:

$$\text{adj}(\mathbf{A}) = \begin{bmatrix} + \begin{vmatrix} a_{22} & a_{23} \\ a_{32} & a_{33} \end{vmatrix} & - \begin{vmatrix} a_{21} & a_{23} \\ a_{31} & a_{33} \end{vmatrix} & + \begin{vmatrix} a_{21} & a_{22} \\ a_{31} & a_{32} \end{vmatrix} \\ - \begin{vmatrix} a_{12} & a_{13} \\ a_{32} & a_{33} \end{vmatrix} & + \begin{vmatrix} a_{11} & a_{13} \\ a_{31} & a_{33} \end{vmatrix} & - \begin{vmatrix} a_{11} & a_{12} \\ a_{31} & a_{32} \end{vmatrix} \\ + \begin{vmatrix} a_{12} & a_{13} \\ a_{22} & a_{23} \end{vmatrix} & - \begin{vmatrix} a_{11} & a_{13} \\ a_{21} & a_{23} \end{vmatrix} & + \begin{vmatrix} a_{11} & a_{12} \\ a_{21} & a_{22} \end{vmatrix} \end{bmatrix}^T$$

Για τον πίνακα $adj(\mathbf{J}_L)$, θα έχουμε:

- $a_{11} = -l_2 s_1 + l_4 c_1 c_2 + l_5 c_1 c_{23}$

- $a_{12} = -l_4 s_1 s_2 - l_5 s_1 s_{23}$

- $a_{13} = -l_5 s_1 s_{23}$

- $a_{21} = 0$

- $a_{22} = l_4 c_2 + l_5 c_{23}$

- $a_{23} = l_5 c_{23}$

- $a_{31} = l_2 c_1 + l_4 c_2 s_1 + l_5 c_{23} s_1$

- $a_{32} = l_4 c_1 s_2 + l_5 c_1 s_{23}$

- $a_{33} = l_5 c_1 s_{23}$

- $+ \begin{vmatrix} a_{22} & a_{23} \\ a_{32} & a_{33} \end{vmatrix} = \begin{vmatrix} l_4 c_2 + l_5 c_{23} & l_5 c_{23} \\ l_4 c_1 s_2 + l_5 c_1 s_{23} & l_5 c_1 s_{23} \end{vmatrix} = l_4 l_5 c_1 \underbrace{(c_2 s_{23} - c_{23} s_2)}_{=s_3} = l_4 l_5 c_1 s_3$

- $- \begin{vmatrix} a_{21} & a_{23} \\ a_{31} & a_{33} \end{vmatrix} = - \begin{vmatrix} 0 & l_5 c_{23} \\ l_2 c_1 + l_4 c_2 s_1 + l_5 c_{23} s_1 & l_5 c_1 s_{23} \end{vmatrix} = l_5 c_{23} \cdot (l_2 c_1 + l_4 c_2 s_1 + l_5 c_{23} s_1)$

- $+ \begin{vmatrix} a_{21} & a_{22} \\ a_{31} & a_{32} \end{vmatrix} = \begin{vmatrix} 0 & l_4 c_2 + l_5 c_{23} \\ l_2 c_1 + l_4 c_2 s_1 + l_5 c_{23} s_1 & l_4 c_1 s_2 + l_5 c_1 s_{23} \end{vmatrix} = -(l_4 c_2 + l_5 c_{23})(l_2 c_1 + l_4 s_1 c_2 + l_5 s_1 c_{23})$

- $- \begin{vmatrix} a_{12} & a_{13} \\ a_{32} & a_{33} \end{vmatrix} = - \begin{vmatrix} -l_4 s_1 s_2 - l_5 s_1 s_{23} & -l_5 s_1 s_{23} \\ l_4 c_1 s_2 + l_5 c_1 s_{23} & l_5 c_1 s_{23} \end{vmatrix} = 0$

- $+ \begin{vmatrix} a_{11} & a_{13} \\ a_{31} & a_{33} \end{vmatrix} = \begin{vmatrix} -l_2 s_1 + l_4 c_1 c_2 + l_5 c_1 c_{23} & -l_5 s_1 s_{23} \\ l_2 c_1 + l_4 c_2 s_1 + l_5 c_{23} s_1 & l_5 c_1 s_{23} \end{vmatrix} = l_5 s_{23}(l_4 c_2 + l_5 c_{23})$

- $- \begin{vmatrix} a_{11} & a_{12} \\ a_{31} & a_{32} \end{vmatrix} = - \begin{vmatrix} -l_2 s_1 + l_4 c_1 c_2 + l_5 c_1 c_{23} & -l_4 s_1 s_2 - l_5 s_1 s_{23} \\ l_2 c_1 + l_4 c_2 s_1 + l_5 c_{23} s_1 & l_4 c_1 s_2 + l_5 c_1 s_{23} \end{vmatrix} = -(l_4 s_2 + l_5 c_{23})(l_4 c_2 + l_5 c_{23})$

- $+ \begin{vmatrix} a_{12} & a_{13} \\ a_{22} & a_{23} \end{vmatrix} = \begin{vmatrix} -l_4 s_1 s_2 - l_5 s_1 s_{23} & -l_5 s_1 s_{23} \\ l_4 c_2 + l_5 c_{23} & l_5 c_{23} \end{vmatrix} = l_4 l_5 s_1 s_3$

- $- \begin{vmatrix} a_{11} & a_{13} \\ a_{21} & a_{23} \end{vmatrix} = - \begin{vmatrix} -l_2 s_1 + l_4 c_1 c_2 + l_5 c_1 c_{23} & -l_5 s_1 s_{23} \\ 0 & l_5 c_{23} \end{vmatrix} = -l_5 c_{23}(-l_2 s_1 + l_4 c_1 c_2 + l_5 c_1 c_{23})$

$$\bullet + \begin{vmatrix} a_{11} & a_{12} \\ a_{21} & a_{22} \end{vmatrix} = \begin{vmatrix} -l_2 s_1 + l_4 c_1 c_2 + l_5 c_1 c_{23} & -l_4 s_1 s_2 - l_5 s_1 s_{23} \\ 0 & l_4 c_2 + l_5 c_{23} \end{vmatrix} = (l_4 c_2 + l_5 c_{23})(-l_2 s_1 + l_4 c_1 c_2 + l_5 c_1 c_{23})$$

Τελικώς:

$$\mathbf{J}_L^{-1} = \frac{1}{l_4 l_5 s_3 (c_2 l_4 + c_{23} l_5)}.$$

$$\begin{bmatrix} l_4 l_5 c_1 s_3 & 0 & l_4 l_5 s_1 s_3 \\ l_5 c_{23} \cdot (l_2 c_1 + l_4 c_2 s_1 + l_5 c_{23} s_1) & l_5 s_{23} (l_4 c_2 + l_5 c_{23}) & -l_5 c_{23} (-l_2 s_1 + l_4 c_1 c_2 + l_5 c_1 c_{23}) \\ -(l_4 c_2 + l_5 c_{23})(l_2 c_1 + l_4 s_1 c_2 + l_5 s_1 c_{23}) & -(l_4 s_2 + l_5 c_{23})(l_4 c_2 + l_5 c_{23}) & (l_4 c_2 + l_5 c_{23})(-l_2 s_1 + l_4 c_1 c_2 + l_5 c_1 c_{23}) \end{bmatrix}$$

1.5 Αντίστροφο Γεωμετρικό Μοντέλο

Στο τελευταίο στάδιο της θεωρητικής ανάλυσης καλούμαστε να προσδιορίσουμε το αντίστροφο γεωμετρικό μοντέλο του ρομποτικού βραχίονα για δεδομένη θέση p_E του Τ.Ε.Δ. Μαθηματικά, δηλαδή, θεωρούμε γνωστό το διάνυσμα:

$$\begin{aligned} \vec{p}_E &= \begin{bmatrix} p_{E_x} \\ p_{E_y} \\ p_{E_z} \end{bmatrix} = \begin{bmatrix} l_1 + l_2 c_1 + l_4 s_1 c_2 + l_5 s_1 c_{23} \\ l_4 s_2 + l_5 s_{23} \\ -l_0 + l_2 s_1 - c_1 c_2 l_4 - c_1 c_{23} l_5 \end{bmatrix} = \begin{bmatrix} x_E \\ y_E \\ z_E \end{bmatrix} \\ \Rightarrow \underbrace{\begin{bmatrix} x'_E \\ y'_E \\ z'_E \end{bmatrix}}_{\vec{p}'_E} &= \begin{bmatrix} x_E - l_1 \\ y_E \\ z_E + l_0 \end{bmatrix} = \begin{bmatrix} l_2 c_1 + l_4 s_1 c_2 + l_5 s_1 c_{23} \\ l_4 s_2 + l_5 s_{23} \\ l_2 s_1 - c_1 c_2 l_4 - c_1 c_{23} l_5 \end{bmatrix} \end{aligned}$$

και προσπαθούμε τα βρούμε τις γωνίες q_1, q_2 και q_3 . Πρόκειται για ένα μη γραμμικό σύστημα με 3 εξισώσεις και 3 αγνώστους.

$$\begin{aligned} x'_E &= l_2 c_1 + l_4 s_1 c_2 + l_5 s_1 c_{23} \\ y'_E &= l_4 s_2 + l_5 s_{23} \\ z'_E &= l_2 s_1 - c_1 c_2 l_4 - c_1 c_{23} l_5 \end{aligned} \tag{2}$$

Σαν πρώτη κίνηση, υψώνουμε τα μέλη των (3) εις το τετράγωνο:

$$\begin{aligned} x_E'^2 &= l_2^2 c_1^2 + 2l_2 l_4 c_1 c_2 s_1 + 2l_2 l_5 c_1 c_{23} s_1 + l_4^2 c_2^2 s_1^2 + 2l_4 l_5 c_2 c_{23} s_1^2 + l_5^2 c_{23}^2 s_1^2 \\ y_E'^2 &= l_4^2 s_2^2 + 2l_4 l_5 s_2 s_{23} + l_5^2 s_{23}^2 \\ z_E'^2 &= l_2^2 s_1^2 - 2l_2 l_4 c_1 c_2 s_1 - 2l_2 l_5 c_1 c_{23} s_1 + l_4^2 c_2^2 c_1^2 + 2l_4 l_5 c_2 c_{23} c_1^2 + l_5^2 c_{23}^2 c_1^2 \end{aligned} \tag{3}$$

Παρατηρούμε ότι με πρόσθεση των (3.1) και (3.3) κάποιои όροι απλοποιούνται:

$$(3.1) + (3.3) \implies x_E'^2 + z_E'^2 = l_2^2 + l_4^2 c_2^2 + 2l_4 l_5 c_2 c_{23} + l_5^2 c_{23}^2$$

Αν στη σχέση που προέκυψε προσθέσουμε και την (3.2), βλέπουμε πως, εν τέλει, παραμένει μόνο ένας άγνωστος:

$$(3.1) + (3.2) + (3.3) \implies x_E'^2 + y_E'^2 + z_E'^2 = l_2^2 + l_4^2 + l_5^2 + 2l_4 l_5 c_3$$

Άρα, βρήκαμε τη σχέση που δίνει το q_3 :

$$c_3 = \frac{x_E'^2 + y_E'^2 + z_E'^2 - l_2^2 - l_4^2 - l_5^2}{2l_4 l_5} \implies$$

$$q_3 = \pm \arccos \left(\frac{x_E'^2 + y_E'^2 + z_E'^2 - l_2^2 - l_4^2 - l_5^2}{2l_4 l_5} \right) \implies$$

$$q_3 = \pm \arccos \left(\frac{(x_E - l_1)^2 + y_E^2 + (z_E + l_0)^2 - l_2^2 - l_4^2 - l_5^2}{2l_4 l_5} \right)$$

Φυσικά, για να θεωρηθεί έγκυρη η λύση θα πρέπει η ποσότητα εντός του τόξου του συνημιτόνου να έχει τιμή από -1 έως 1.

Εν συνεχεία, παρατηρούμε ότι η σχέση (2.2) εμπλέκει μόνο τους αγνώστους q_2 και q_3 . Θα προσπαθήσουμε, λοιπόν, έχοντας βρει την q_3 να βρούμε την q_2 από την σχέση (2.2):

$$y_E' = l_4 s_2 + l_5 s_{23} \implies$$

$$y_E' = l_4 s_2 + l_5 (s_2 c_3 + c_2 s_3) \implies$$

$$y_E' = l_4 s_2 + l_5 s_2 c_3 + l_5 c_2 s_3$$

Παρατηρούμε, ότι ο κύριος άγνωστος (q_2) υπάρχει εντός ενός ημιτόνου κι ενός συνημιτόνου, άρα υποπτευόμαστε ότι θα χρειαστεί να "φέρουμε" στους υπολογισμούς μας ένα τουλάχιστον από τα δύο τριγωνομετρικά εις το τετράγωνο (λόγω του ότι $\cos^2(x) + \sin^2(x) = 1$). Επιλέγουμε να το κάνουμε με τον εξής τρόπο:

$$y_E' - l_5 s_3 c_2 = (l_4 + l_5 c_3) s_2 \xrightarrow{\quad 2 \quad}$$

$$(y_E')^2 - 2y_E' l_5 s_3 c_2 + (l_5 s_3 c_2)^2 = (l_4 + l_5 c_3)^2 s_2^2 \implies$$

$$(y'_E)^2 - 2y'_E l_5 s_3 c_2 + (l_5 s_3 c_2)^2 = (l_4 + l_5 c_3)^2 (1 - c_2^2) \implies$$

$$(y'_E)^2 - 2y'_E l_5 s_3 c_2 + (l_5 s_3)^2 c_2^2 - (l_4 + l_5 c_3)^2 + (l_4 + l_5 c_3)^2 c_2^2 = 0 \implies$$

$$\left[(l_5 s_3)^2 + (l_4 + l_5 c_3)^2 \right] c_2^2 + (-2y'_E l_5 s_3) c_2 + \left[(y'_E)^2 - (l_4 + l_5 c_3)^2 \right] = 0 \quad (4)$$

Φτάνουμε, λοιπόν, σε μια εξίσωση 2^{ου} βαθμού με άγνωστο το c_2 . Προτού προχωρήσουμε, είναι απαραίτητο να μελετήσουμε το αν το τριώνυμο του πρώτου μέλους υφίσταται όντως, δηλαδή ο συντελεστής του δευτεροβάθμιου όρου είναι διάφορος του 0.

$$\left[(l_5 s_3)^2 + (l_4 + l_5 c_3)^2 \right] = 0$$

$$\iff \begin{cases} l_5 s_3 &= 0 \\ l_4 + l_5 c_3 &= 0 \end{cases}$$

$$\iff \begin{cases} s_3 &= 0 \\ c_3 &= -\frac{l_4}{l_5} \end{cases}$$

Κι εφόσον τα l_4 και l_5 είναι μήκη, το c_3 θα πρέπει να είναι αρνητικό. Ταυτόχρονα, για μας σημασία έχουν οι γωνίες εντός ενός κύκλου. Άρα:

$$\iff \begin{cases} q_3 &= \pi \\ l_4 &= l_5 \end{cases}$$

Παρατηρούμε, βλέποντας και την Figure 3, πως όταν ισχύουν οι τελευταίες συνθήκες, τότε θεωρητικά ο end-effector βρίσκεται πάνω στην άρθρωση q_2 και οποιαδήποτε κι αν είναι η τιμή της γωνίας q_2 δεν θα επηρεάσει την θέση του end-effector καθόλου. Μαθηματικά, λοιπόν, αυτό σημαίνει ότι δεν προκύπτει μοναδική q_2 στο αρχικό μας σύστημα. Άλλωστε, όταν ισχύουν οι παραπάνω συνθήκες, εύκολα φαίνεται ότι:

$$(2.2) \implies y'_E = l_4 \sin(q_2) + l_4 \sin(\pi + q_2) \implies y'_E = l_4 \sin(q_2) - l_4 \sin(q_2) \implies y'_E = y_E = 0,$$

που σημαίνει πως αν πράγματι $y_E = 0$, τότε το σύστημα έχει άπειρες λύσεις, διαφορετικά δεν έχει καμία (το επιθυμητό σημείο είναι εκτός του workspace).

Για τη γενική περίπτωση, συνεχίζουμε επιλύοντας την εξίσωση (4):

$$\Delta = (-2y'_E l_5 s_3)^2 - 4 \left[(l_5 s_3)^2 + (l_4 + l_5 c_3)^2 \right] \left[(y'_E)^2 - (l_4 + l_5 c_3)^2 \right]$$

Αν η διακρίνουσα είναι αρνητική ποσότητα, τότε η ζητούμενη θέση είναι ανέφικτη, καθώς δεν υπάρχει κατάλληλο q_2 που να ικανοποιεί την (4), άρα ούτε και την (2.2).

Θεωρώντας πως είναι θετική, προχωρούμε στη λύση:

$$c_2 = \frac{y_E l_5 s_3 \pm (l_4 + l_5 c_3) \sqrt{(l_4 + l_5 c_3)^2 + l_5^2 s_3^2 - y_E^2}}{(l_5 s_3)^2 + (l_4 + l_5 c_3)^2} \implies$$

$$q_2 = \pm \arccos \left(\frac{y_E l_5 s_3 \pm (l_4 + l_5 c_3) \sqrt{(l_4 + l_5 c_3)^2 + l_5^2 s_3^2 - y_E^2}}{(l_5 s_3)^2 + (l_4 + l_5 c_3)^2} \right)$$

Στο τέλος, βάσει της (2.1) προσπαθούμε να βρούμε την q_1 :

$$(2.1) \implies x'_E = l_2 c_1 + l_4 s_1 c_2 + l_5 s_1 c_{23} \implies$$

$$x'_E - l_2 c_1 = (l_4 c_2 + l_5 c_{23}) s_1 \xrightarrow{^2}$$

$$(x'_E)^2 - 2l_2 c_1 x'_E + (l_2 c_1)^2 = (l_4 c_2 + l_5 c_{23})^2 s_1^2 \implies$$

$$(x'_E)^2 - 2l_2 c_1 x'_E + (l_2 c_1)^2 = (l_4 c_2 + l_5 c_{23})^2 (1 - c_1^2) \implies$$

$$(x'_E)^2 - 2l_2 c_1 x'_E + (l_2 c_1)^2 = (l_4 c_2 + l_5 c_{23})^2 - (l_4 c_2 + l_5 c_{23})^2 c_1^2 \implies$$

$$\left[l_2^2 + (l_4 c_2 + l_5 c_{23})^2 \right] c_1^2 + (-2l_2 x'_E) c_1 + \left[(x'_E)^2 - (l_4 c_2 + l_5 c_{23})^2 \right] = 0$$

Για την περίπτωση που ο συντελεστής του δευτεροβάθμιου όρου είναι 0, έχουμε παρόμοια ανάλυση ειδικής περίπτωσης με παραπάνω. Προχωρούμε, λοιπόν:

$$\Delta = (-2l_2 x'_E)^2 - 4 \left[l_2^2 + (l_4 c_2 + l_5 c_{23})^2 \right] \left[(x'_E)^2 - (l_4 c_2 + l_5 c_{23})^2 \right]$$

Αν η διακρίνουσα είναι αρνητική ποσότητα, τότε η ζητούμενη θέση είναι ανέφικτη, καθώς δεν υπάρχει κατάλληλο q_1 που να ικανοποιεί την εξίσωση, άρα ούτε και την (2.1).

Θεωρώντας πως είναι θετική, προχωρούμε στη λύση:

$$c_1 = \frac{2l_2 x'_E \pm \sqrt{\Delta}}{2l_2^2 + 2(l_4 c_2 + l_5 c_{23})^2} \implies$$

$$q_1 = \pm \arccos \left(\frac{2l_2 x'_E \pm \sqrt{\Delta}}{2l_2^2 + 2(l_4 c_2 + l_5 c_{23})^2} \right)$$

2 ΜΕΡΟΣ Β: Κινηματική Προσομοίωση

Στο δεύτερο μέρος της εργασίας, αρχικά, επικεντρώνουμε το ενδιαφέρον μας στον σχεδιασμό επιθυμητής τροχιάς της κίνησης του end-effector. Θεωρούμε ότι:

- ο end-effector πρόκειται να εκτελέσει περιοδική ευθύγραμμη κίνηση μεταξύ δύο σημείων στάσης $P_A(x_A, y_A, z_A)$ και $P_B(x_B, y_B, z_B)$ επί οριζοντίου επιπέδου, απόστασης h από το κέντρο του συστήματος αναφοράς της ρομποτικής βάσης (δηλ. $z_A = z_B = h$).
- τη χρονική στιγμή $t = 0$ το Τ.Ε.Δ βρίσκεται ήδη (εν στάσει) στη δεδομένη αρχική θέση P_A και ότι η χρονική περίοδος της κίνησής του (μεταξύ των θέσεων P_A και P_B) είναι T secs.
- παράλληλος στόχος μας είναι η ομαλότητα της εκτελούμενης τροχιάς, δηλαδή συνολική χρονική συνέχεια της τροχιάς και ως προς την ταχύτητα.

Για το μέρος της κινηματικής προσομοίωσης, πραγματοποιούμε τις παρακάτω 2 διαδικασίες:

- Αναλυτική περιγραφή του σχεδιασμού της επιθυμητής τροχιάς στον χώρο εργασίας.
- Κινηματική προσομοίωση του ρομποτικού χειριστή με αντίστοιχες γραφικές παραστάσεις.

2.1 Σχεδιασμός Τροχιάς (Trajectory Planning)

Συνοπτικά, αναφέρουμε ότι ο πρακτικός στόχος αυτής της ανάλυσης αφορά την παραγωγή ορισμένων σημάτων αναφοράς (θέσεων $p(i)$ και ταχυτήτων $\dot{p}(i)$) στον καρτεσιανό χώρο εργασίας του ρομποτικού εργαλείου, που ικανοποιούν ένα σύνολο περιορισμών.

Τα σήματα αυτά, γενικά, αποτελούν την είσοδο αλγορίθμων αντίστροφης κινηματικής ανάλυσης (αντίστροφο γεωμετρικό και διαφορικό μοντέλο) που στην έξοδό τους παράγουν τις επιθυμητές γωνίες και ταχύτητες $q_r(i)$ και $\dot{q}_r(i)$. Με τη σειρά τους τα $q_r(i)$ και $\dot{q}_r(i)$ θα αποτελέσουν τα σήματα αναφοράς των ελεγκτών που ελέγχουν την κίνηση του ρομπότ.

Η σχεδιαζόμενη τροχία, εν ολίγοις, πρόκειται για χρονικές συναρτήσεις κίνησης του end-effector και σχεδιάζοντε ώστε να παρουσιάζουν συνέχεια θέσης και ταχύτητας.

Ζητούμενο είναι η σχεδιαζόμενη τροχία να βρίσκεται πάνω στο επίπεδο $z = h$ και, συγκεκριμένα, πάνω στο ευθύγραμμο τμήμα $A \rightarrow B$. Η εξίσωση των σημείων που βρίσκονται πάνω στο ευθύγραμμο τμήμα $A \rightarrow B$, είναι:

$$y - y_A = \frac{y_B - y_A}{x_B - x_A} \cdot (x - x_A)$$

Αυτό, αμέσως, δεσμεύει τις συντεταγμένες του end-effector $x(t), y(t), z(t)$ ως εξής:

- $x = x(t)$
- $y = f(x(t))$
- $z(t) = h, \forall t \in [0, T]$

Δηλαδή, η συντεταγμένη $x(t)$ θα είναι μια χρονική συνάρτηση, την οποία θα σχεδιάσουμε αμέσως μετά, ώστε να πληρούνται οι επιθυμητές προδιαγραφές ομαλότητας, η συντεταγμένη $y(t)$ μπορεί να βρεθεί από την $x(t)$ μέσα από την εξίσωση του ευθύγραμμου τμήματος, ενώ η συντεταγμένη $z(t)$ παραμένει διαρκώς σταθερή και ίση με h ώστε η κίνηση να γίνεται στο ίδιο επίπεδο.

Επομένως, προχωρούμε στον σχεδιασμό του $x(t)$:

Χωρίζουμε την κίνηση σε τρεις φάσεις, σε κάθε μία εκ των οποίων θα προσδιορίσουμε την τιμή του $x(t)$. Για τις φάσεις με επιτάχυνση χρησιμοποιούμε πολυώνυμο τετάρτου βαθμού ως προς t .

1. Φάση επιτάχυνσης: διάρκεια $0 \rightarrow 2\Delta$
2. Φάση σταθερής ταχύτητας: διάρκεια $2\Delta \rightarrow T - 2\Delta$
3. Φάση επιβράδυνση: διάρκεια $T - 2\Delta \rightarrow T$

$$x(t) = \begin{cases} a_0 + a_1 t + a_2 t^2 + a_3 t^3 + a_4 t^4 & , 0 \leq t \leq 2\Delta \\ b_0 + b_1 t & , 2\Delta \leq t \leq T - 2\Delta \\ c_0 + c_1 t + c_2 t^2 + c_3 t^3 + c_4 t^4 & , T - 2\Delta \leq t \leq T \end{cases}$$

Φάση Επιτάχυνσης:

$$x(0) = x_A \implies a_0 = x_A$$

$$\dot{x}(0) = 0 \implies a_1 = 0$$

$$\ddot{x}(0) = 0 \implies a_2 = 0$$

$$x(2\Delta^-) = x(2\Delta^+) \quad (5)$$

$$\dot{x}(2\Delta^-) = \dot{x}(2\Delta^+) \quad (6)$$

$$\ddot{x}(2\Delta) = 0 \implies 6a_3(2\Delta) + 12a_4(2\Delta)^2 = 0 \quad (7)$$

Φάση σταθερής ταχύτητας:

Η ταχύτητα είναι σταθερή και ίση με:

$$\dot{x}(t) = b_1 \implies b_1 = \frac{x_B - x_A}{T - 2\Delta}$$

$$(6) \implies \dot{x}(2\Delta) = 3a_3(2\Delta)^2 + 4a_4(2\Delta)^3 = \frac{x_B - x_A}{T - 2\Delta} \quad (8)$$

$$(7), (8) \implies \begin{cases} a_3 = \frac{x_B - x_A}{4\Delta^2 T - 8\Delta^3} \\ a_4 = \frac{x_B - x_A}{32\Delta^4 T - 16\Delta^3 T} \end{cases}$$

$$(5) \implies b_0 + \frac{x_B - x_A}{T - 2\Delta} \cdot (2\Delta) = x_A + \frac{x_B - x_A}{4\Delta^2 T - 8\Delta^3} (2\Delta)^3 + \frac{x_B - x_A}{32\Delta^4 T - 16\Delta^3 T} (2\Delta)^4$$

$$\implies b_0 = x_A + \frac{\Delta(x_B - x_A)}{T(2\Delta - 1)}$$

Αξιοποιώντας τις υπόλοιπες οριακές σχέσεις:

- $x(T - 2\Delta^-) = x(T - 2\Delta^+)$
- $\dot{x}(T - 2\Delta) = b_1$
- $\ddot{x}(T - 2\Delta) = 0$
- $x(T) = x_B$
- $\dot{x}(T) = 0$
- $\ddot{x}(T) = 0$

Μπορούμε να υπολογίσουμε και τις υπόλοιπες παραμέτρους του πολωνύμου για την επιβραδυνόμενη κίνηση. Οι υπολογισμοί είναι πολλοί και, παρότι, το τελικό αποτέλεσμα θα είναι αρκετά ικανοποιητικό, επιλέγουμε να συνεχίσουμε την ανάλυση θεωρώντας πως η χρονική συνάρτηση $x(t)$ είναι πολυώνυμο 3ου βαθμού, διατηρώντας φυσικά τις συνθήκες ομαλότητας. Έτσι, θα διευκολυνθούν οι υπολογισμοί, θα απλοποιηθεί ο κώδικας της συνέχειας και, γενικά, θα εξυπηρετείται καλύτερα ο στόχος της εργασίας. Οι φάσεις της κίνησης είναι πλέον μόνο οι φάσεις επιτάχυνσης κι επιβράδυνσης.

Έχουμε:

$$x(t) = a_0 + a_1 t + a_2 t^2 + a_3 t^3, 0 \leq t \leq T$$

$$x(0) = x_A \implies a_0 = x_A$$

$$\dot{x}(0) = 0 \implies a_1 = 0$$

$$x(T) = x_B \implies x_A + a_2 T^2 + a_3 T^3 = x_B \quad (9)$$

$$\dot{x}(T) = 0 \implies 2a_2 T + 3a_3 T^2 = 0 \quad (10)$$

$$(9), (10) \implies \begin{cases} a_2 = -\frac{3}{T^2}(x_A - x_B) \\ a_3 = \frac{2}{T^3}(x_A - x_B) \end{cases}$$

Δηλαδή, τελικώς:

$$\left\{ \begin{array}{l} x(t) = x_A - \frac{3}{T^2}(x_A - x_B)t^2 + \frac{2}{T^3}(x_A - x_B)t^3 \\ y(t) = y_A + \frac{y_B - y_A}{x_B - x_A} \cdot (x(t) - x_A) \\ z(t) = h \end{array} \right., 0 \leq t \leq T$$

2.2 Κινηματική Προσομοίωση

Από εδώ και στο εξής θεωρούμε:

- $l_0 = l_1 = l_3 = 0$
- υπόλοιπα μήκη, P_A και P_B (εντός του workspace), T, h (εφικτό) επιλέγονται αυθαίρετα για την εξυπηρέτηση της προσομοίωσης.

Θα δημιουργήσουμε μια συνάρτηση **MATLAB**, με εισόδους τα P_A, P_B και T . Η συνάρτηση παρατίθεται στο επόμενο κεφάλαιο της εργασίας και μέσω αυτής έχουμε παράξει όλες τις επιθυμητές γραφικές παραστάσεις. Αυθαίρετα έχουμε επιλέξει: $l_2 = 4, l_4 = 14, l_5 = 16$. Οι γραφικές είναι το αποτέλεσμα της συνάρτησης με είσοδο: $P_A = (x_A, y_A, z_A) = (1, 2, 5), P_B = (x_B, y_B, z_B) = (9, 8, 5)$ και $T = 10$.

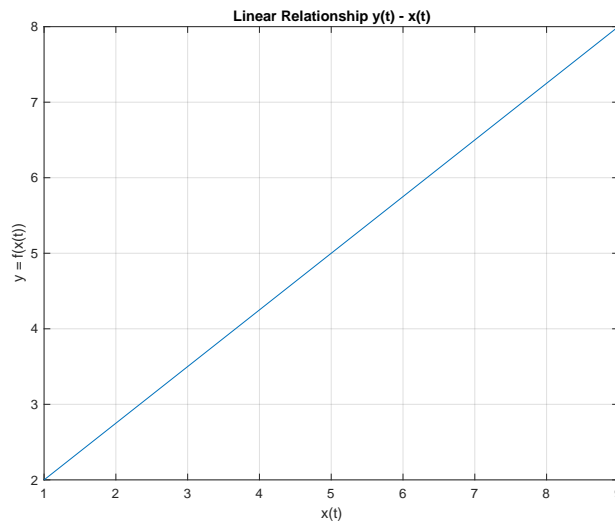


Figure 4: Οι συντεταγμένες x-y του end-effector συνδέονται γραμμικά

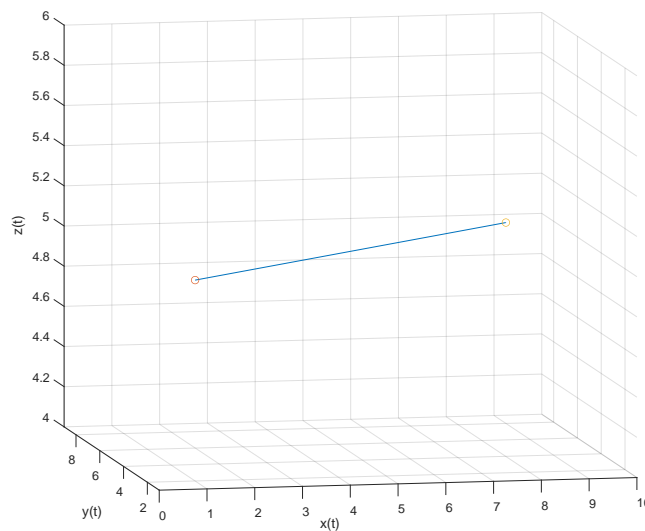


Figure 5: Επιθυμητή τροχιά $P_A = (1, 2, 5), P_B = (9, 8, 5)$

2.2.1 Προφίλ Κίνησης

Ακολουθεί το επιθυμητό προφίλ κίνησης του τελικού εργαλείου δράσης, δηλαδή το $P_E(t)$ και το $v_E(t)$.

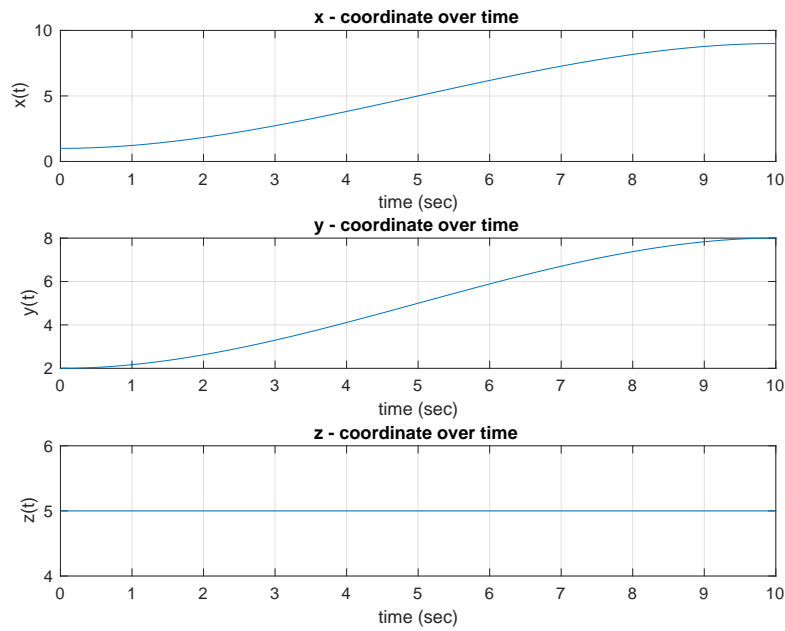


Figure 6: Εξέλιξη των συντεταγμένων θέσης στη διάρκεια των 10 sec

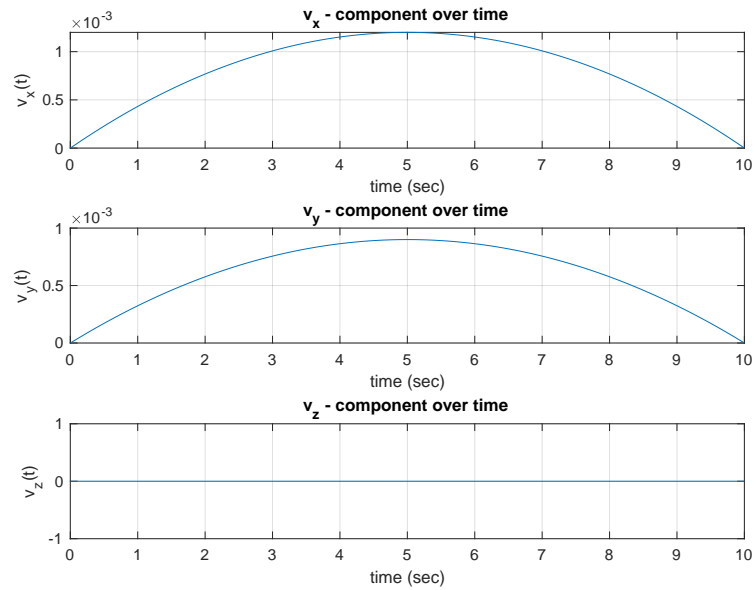


Figure 7: Εξέλιξη των συνιστωσών ταχύτητας στη διάρκεια των 10 sec

2.2.2 Γωνίες και γωνιακές ταχύτητες αρθρώσεων

Παραθέτουμε τα διαγράμματα γωνιών αρθρώσεων και γωνιακών ταχυτήτων, δηλαδή το $q(t)$ και το $\dot{q}(t)$.

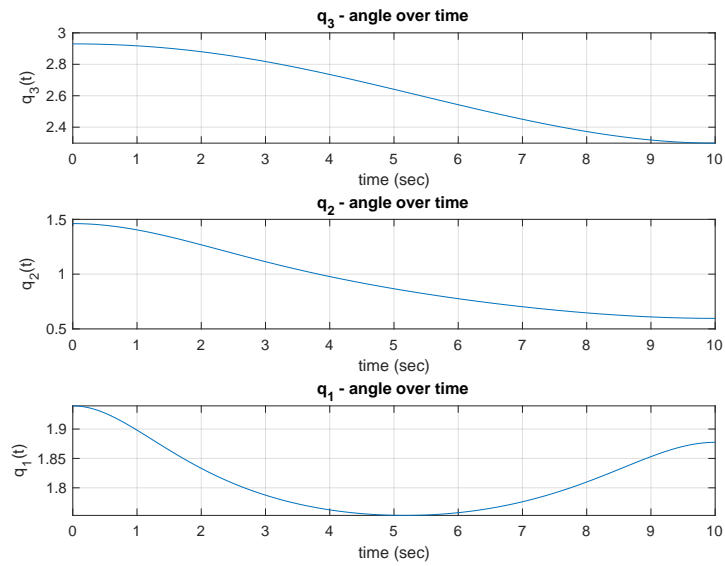


Figure 8: Εξέλιξη των γωνιών των αρθρώσεων στη διάρκεια των 10 sec

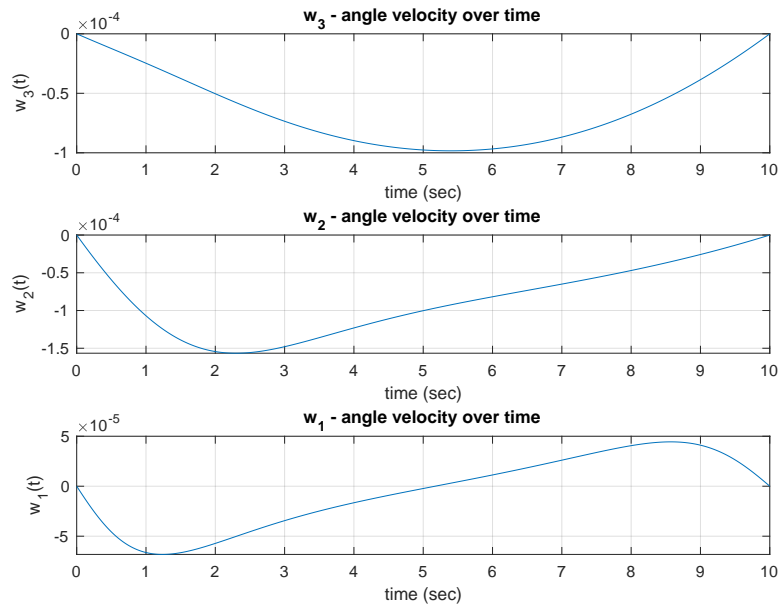


Figure 9: Εξέλιξη των γωνιακών ταχυτήτων στη διάρκεια των 10 sec

2.2.3 Παρουσίαση Κίνησης - Animation

Εν τέλει, παρουσιάζουμε το διάγραμμα κίνησης που εικονίζει μια χρονική ακολουθία ενδιάμεσων διατάξεων της ρομποτικής κινηματικής αλυσίδας κατά την εκτέλεση της εργασίας (από το animation της κίνησης).

Δηλαδή, απεικονίζουμε σε κοινό διάγραμμα διαδοχικές φάσεις στις οποίες βρίσκεται ο ρομποτικός χειριστής κατά τη διάρκεια της κίνησης $A \rightarrow B$.

Στα διαγράμματα, τα μαύρα ευθύγραμμα τμήματα συμβολίζουν τους συνδέσμους. Οι αρθρώσεις - οι οποίες βρίσκονται στα "σπασίματα" των τμημάτων - επισημειώνονται με κυκλάκι ή τετραγωνάκι, ενώ ο end-effector σημειώνεται με x . Η τροχιά του end-effector έχει σχηματιστεί με έντονο πράσινο χρώμα.

Γίνεται εμφανές πως η τροχιά βρίσκεται στο επίπεδο $z = h = 5$. Παραθέτουμε το ίδιο διάγραμμα από τρεις οπτικές γωνίες για να γίνουν σαφή τα συμπεράσματά μας.

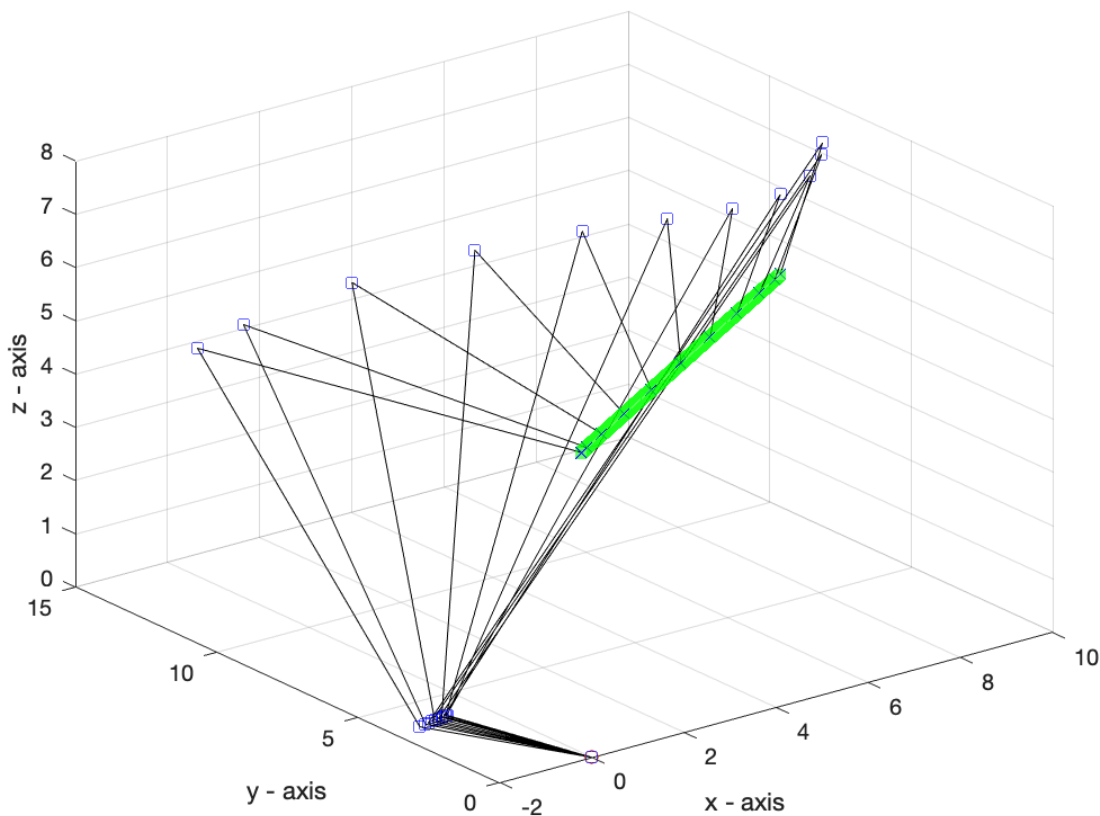
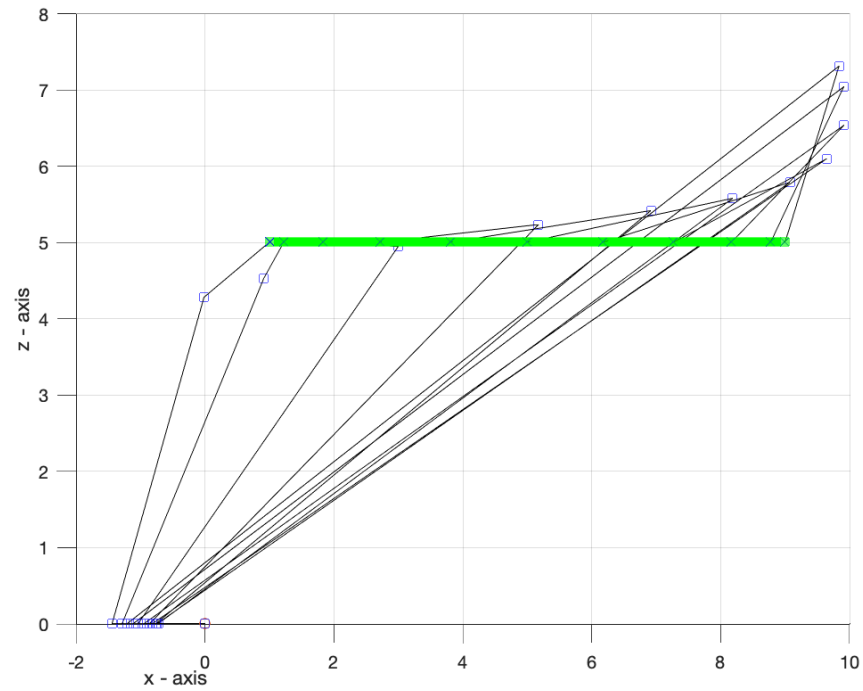
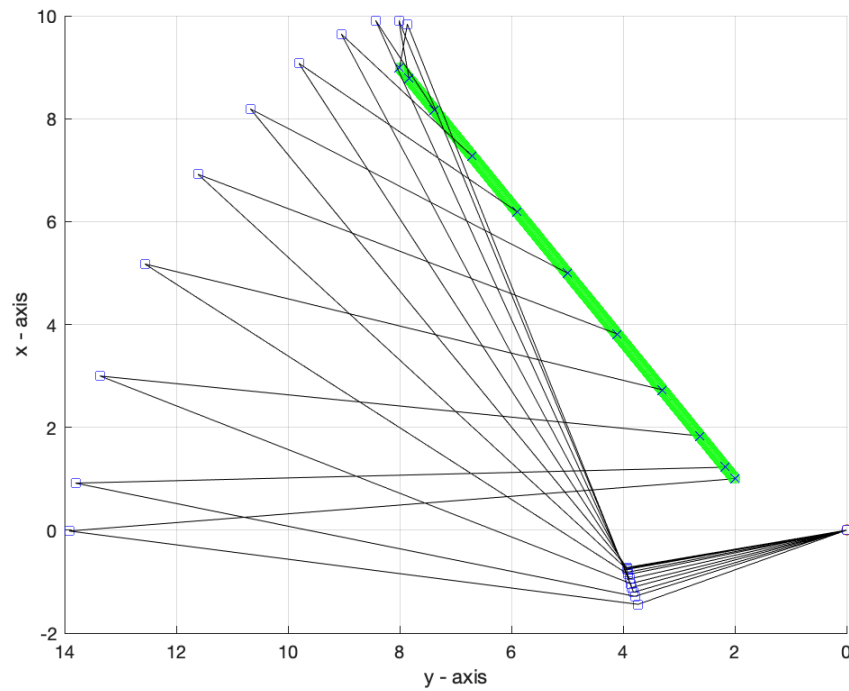


Figure 10: Γενική εικόνα κίνησης στα 10 sec

Figure 11: Κάτοψη επιπέδου xz Figure 12: Κάτοψη επιπέδου xy

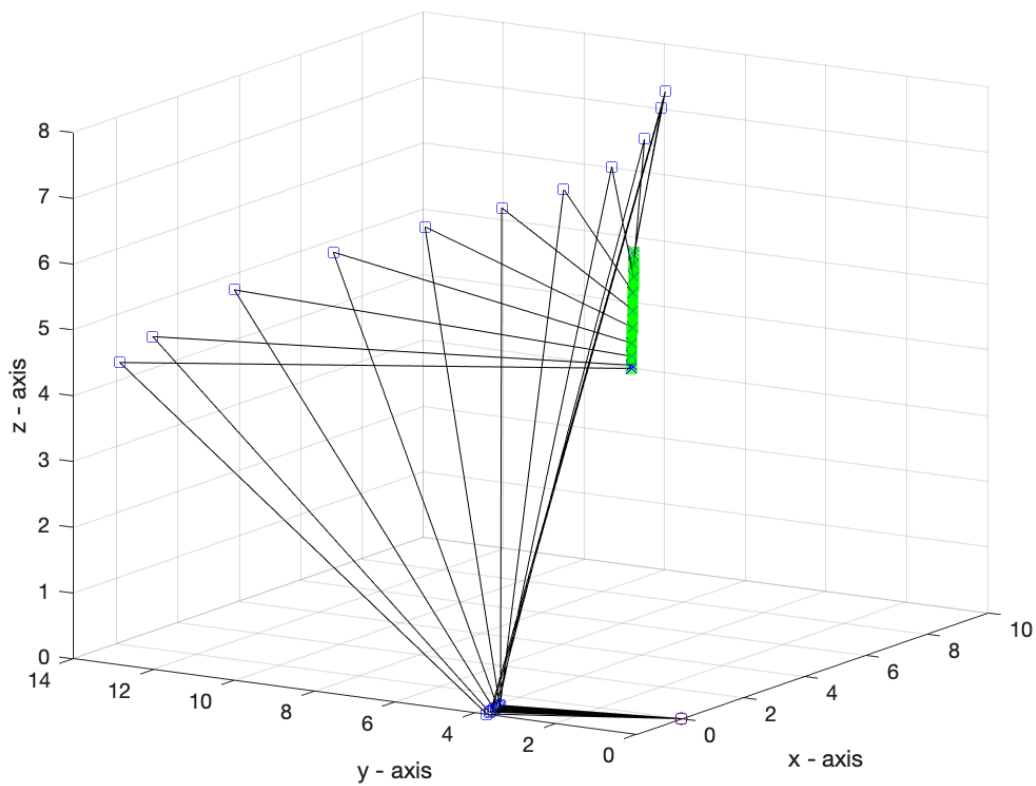


Figure 13: Μια ελάχιστα διαφορετική οπτική

3 Κώδικας MATLAB Κινηματικής Προσομοίωσης

Στο τελευταίο κεφάλαιο της εργασίας παραθέτουμε τον κώδικα με τον οποίο υλοποιήσαμε την κινηματική προσομοίωση και παραγάγαμε τις επιθυμητές γραφικές παραστάσεις.

```

1 %% Robotics I: Analysis - Control - Laboratory
2 % Semester 7 - Flow S
3
4 % Semester Project: Robotic Manipulator with 3 Rotational DOF
5 % Dimitris Dimos [031 17 165]
6
7
8 % Project Part B: Kinematic Simulation
9
10
11 %% function to simulate motion
12 % input: P_A (starting point), P_B (end point), T (motion duration)
13 function simulate (P_A, P_B, T)
14
15 close all; % close all currently opened figures
16
17 % translate input - trajectory end point coordinates
18 [x_A, y_A, z_A] = deal(P_A(1), P_A(2), P_A(3));
19 [x_B, y_B, z_B] = deal(P_B(1), P_B(2), P_B(3));
20
21 if z_A ≠ z_B
22     disp('Error: Line Points must have same z-coordinate');
23     return;
24 end
25
26 % robot links
27 l_0 = 0.0;
28 l_1 = 0.0;
29 l_2 = 4.0;
30 l_3 = 0.0;
31 l_4 = 14.0;
32 l_5 = 16.0;
33
34 % sampling period
35 dt = 0.001; % 1kHz sampling frequency
36
37 % trajectory polynomial coefficients
38 a0 = x_A;
39 a = [0, -3*(x_A - x_B)/T.^2, 2*(x_A - x_B)/T.^3];
40
41 % time axis definition
42 t = 0:dt:T;
43
44 % trajectory definition - end-effector position
45 x = a0 + a(1)*t + a(2)*t.^2 + a(3)*t.^3;
46 y = y_A + (x - x_A)*(y_B - y_A)/(x_B - x_A);
47 for i = 1:length(x)
48     z(i) = z_A;
49 end
50
51 % trajectory definition - end-effector linear velocity
52 v_x = [0 diff(x)];
53 v_y = [0 diff(y)];
54 for i = 1:length(v_x)
55     v_z(i) = 0;
56 end
57
58 %% PLOT: x - y linearity
59 figure(1)
60 xlabel('x(t)')
61 plot(x,y)
62 title('Linear Relationship y(t) - x(t)')
63 xlabel('x(t)')
64 ylabel('y = f(x(t))')
```

```

65 grid on
66
67 %% PLOT: desired position coordinates
68 figure(2)
69 subplot(3,1,1)
70 plot(t,x)
71 title('x - coordinate over time')
72 xlabel('time (sec)')
73 ylabel('x(t)')
74 grid on
75 subplot(3,1,2)
76 plot(t,y)
77 title('y - coordinate over time')
78 xlabel('time (sec)')
79 ylabel('y(t)')
80 grid on
81 subplot(3,1,3)
82 plot(t,z)
83 title('z - coordinate over time')
84 xlabel('time (sec)')
85 ylabel('z(t)')
86 grid on
87
88 %% PLOT: desired 3D trajectory
89 figure(3)
90 plot3(x,y,z)
91 xlim([x_A-1, x_B+1])
92 ylim([y_A-1, y_B+1])
93 zlim([z_A-1, z_B+1])
94 hold on
95 plot3(x_A,y_A,z_A,'O')
96 plot3(x_B,y_B,z_B,'O')
97 xlabel('x(t)')
98 ylabel('y(t)')
99 zlabel('z(t)')
100 grid on
101
102 %% PLOT: desired velocity components
103 figure(4)
104 subplot(3,1,1)
105 plot(t,v_x)
106 title('v_x - component over time')
107 xlabel('time (sec)')
108 ylabel('v_x(t)')
109 grid on
110 subplot(3,1,2)
111 plot(t,v_y)
112 title('v_y - component over time')
113 xlabel('time (sec)')
114 ylabel('v_y(t)')
115 grid on
116 subplot(3,1,3)
117 plot(t,v_z)
118 title('v_z - component over time')
119 xlabel('time (sec)')
120 ylabel('v_z(t)')
121 grid on
122
123 %% INVERSE KINEMATIC MODEL
124 nom_3 = (x(:) - l_1).^2 + y(:).^2 + (z(:) + l_0).^2 - l_2.^2 - l_4.^2 - l_5.^2;
125 den_3 = 2 * l_4 * l_5;
126 q_3 = acos(nom_3 / den_3);
127
128 nom_2 = y(:).*l_5.*sin(q_3) + (l_4 + l_5.*cos(q_3)).*sqrt((l_4 + l_5.*cos(q_3)).^2 + ...
    (l_5.*sin(q_3)).^2 - y(:).^2);
129 den_2 = (l_5.*sin(q_3)).^2 + (l_4 + l_5.*cos(q_3)).^2;
130 q_2 = acos(nom_2./den_2);
131
132 nom_1 = (l_4.*cos(q_2) + l_5.*cos(q_2 + q_3)).*z(:) + l_2.*sqrt((l_4.*cos(q_2) + ...
    l_5.*cos(q_2+q_3)).^2 + (l_1 + l_2).^2 - z(:).^2);
133 den_1 = (l_4.*cos(q_2) + l_5.*cos(q_2 + q_3)).^2 + l_2.^2;

```

```

134 q_1 = acos(nom_1 ./ den_1);
135
136 %% PLOT: desired joint angles
137 figure(5)
138 subplot(3,1,1)
139 plot(t,q_3(:))
140 title('q_3 - angle over time')
141 xlabel('time (sec)')
142 ylabel('q_3(t)')
143 grid on
144 subplot(3,1,2)
145 plot(t,q_2(:))
146 title('q_2 - angle over time')
147 xlabel('time (sec)')
148 ylabel('q_2(t)')
149 grid on
150 subplot(3,1,3)
151 plot(t,q_1(:))
152 title('q_1 - angle over time')
153 xlabel('time (sec)')
154 ylabel('q_1(t)')
155 grid on
156
157 %% INVERSE DIFFERENTIAL MODEL
158
159 w_1 = [0; diff(q_1)];
160 w_2 = [0; diff(q_2)];
161 w_3 = [0; diff(q_3)];
162
163 %% PLOT: desired joint angle velocity
164 figure(6)
165 subplot(3,1,1)
166 plot(t,w_3(:))
167 title('w_3 - angle velocity over time')
168 xlabel('time (sec)')
169 ylabel('w_3(t)')
170 grid on
171 subplot(3,1,2)
172 plot(t,w_2(:))
173 title('w_2 - angle velocity over time')
174 xlabel('time (sec)')
175 ylabel('w_2(t)')
176 grid on
177 subplot(3,1,3)
178 plot(t,w_1(:))
179 title('w_1 - angle velocity over time')
180 xlabel('time (sec)')
181 ylabel('w_1(t)')
182 grid on
183
184 %% FORWARD KINEMATIC MODEL
185
186 points = length(t);
187
188 % joint 1 position
189 j1_x(1:points) = 0;
190 j1_y(1:points) = 0;
191 j1_z(1:points) = 0;
192
193 % joint 2 position
194 j2_x = l_2 .* cos(q_1);
195 j2_y = l_2 .* sin(q_1);
196 j2_z(1:points) = 0;
197
198 % joint 3 position
199 j3_x = l_1 + cos(q_1) .* l_2 + l_3 .* sin(q_1) + l_4 .* cos(q_2) .* sin(q_1);
200 j3_y = l_4 .* sin(q_2);
201 j3_z = -l_0 + l_2 .* sin(q_1) - l_3 .* cos(q_1) - l_4 .* cos(q_1) .* cos(q_2);
202
203
204

```

```

205 %% KINEMATIC SIMULATION
206 figure(7)
207
208 plot3(x,y,z, 'gs'); % trajectory
209 hold on
210 dt_a = 1000;
211 plot([0], [0], 'o') % axis origin
212
213 %% animation
214 for i = 1:dt_a:points
215     pause(0.1); % pause motion
216
217     % joint 1
218     plot3([j1_x(i)], [j1_y(i)], [j1_z(i)], 'bs');
219
220     % link from joint 1 to joint 2
221     plot3([j1_x(i), j2_x(i)], [j1_y(i), j2_y(i)], [j1_z(i), j2_z(i)], 'k');
222
223     % joint 2
224     plot3([j2_x(i)], [j2_y(i)], [j2_z(i)], 'bs');
225
226     % link from joint 2 to joint 3
227     plot3([j2_x(i), j3_x(i)], [j2_y(i), j3_y(i)], [j2_z(i), j3_z(i)], 'k');
228
229     % joint 3
230     plot3([j3_x(i)], [j3_y(i)], [j3_z(i)], 'bs');
231
232     % link from joint 3 to end-effector
233     plot3([j3_x(i), x(i)], [j3_y(i), y(i)], [j3_z(i), z(i)], 'k');
234
235     % end-effector
236     plot3([x(i)], [y(i)], [z(i)], 'bx');
237 end
238
239 xlabel('x - axis');
240 ylabel('y - axis');
241 zlabel('z - axis');
242 grid on
243
244 end

```